



IRANIAN SOCIETY
CRYSTALLOGRAPHY
and MINERALOGY

No. 2, 1386/2007 Fall & Winter

IRANIAN JOURNAL OF
CRYSTALLOGRAPHY
and MINERALOGY

Application of mineralogical and textural evidence for recognition of alkaline metasomatism in Dodehak granitoid stock (NE Mahalat)

F. Masoudi^{1,2}, M. Jamshidi-badr¹, Z. Salehi¹

1- Department of Geology, Tarbiat Moallem University, Tehran

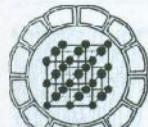
2- Faculty of Science, Shaheed Beheshti University, Tehran

Email: masoudi@saba.tmu.ac.ir

(Received: 25/9/2006, received in revised form: 25/6/2007)

Abstract: Dodehak granitoid stock with tonalite to granodiorite composition is exposed south of Dodehak village, north of Ab-e-Garm (Mahalat) in Urumieh-Dorhtar volcanic belt of Iran. Based on petrography and point analysis (EPMA), plagioclase crystals show normal zoning with graphic texture is present. Samples from SE of the intrusion are different and myrmekite texture is present in the rocks, while graphic texture is absent and plagioclases have lost their zoning. In samples from SE of the area, myrmekite is rim type and plagioclases show cross shape twinning. Based on whole rock XRF analyses, Rb-SiO₂ and K₂O-Na₂O diagrams show non-linear trends and EPMA analysis indicate that plagioclases are homogeneous albite. Such petrographical and geochemical features are evidence for alkaline metasomatism in SE of the Dodehak intrusion.

Keywords: granite, myrmekite, alkaline metasomatism, zoning, Dodehak.



کاربرد شواهد کانی شناسی و بافتی در تشخیص دگرنهادی آلکالن در استوک گرانیت‌وئیدی دودهک (شمال شرق محلات)

فریبهرز مسعودی^۱، محبوبه جمشیدی بدر^۱، زهرا صالحی^۱

۱- گروه زمین شناسی دانشگاه تربیت معلم، تهران

۲- دانشکده علوم، دانشگاه شهید بهشتی، تهران

masoudi@saba.tmu.ac.ir

(دریافت مقاله ۱۳۸۵/۷/۳، دریافت نسخه نهایی ۱۳۸۶/۴/۳)

چکیده: استوک گرانیت‌وئیدی دودهک با ترکیب تونالیت تا گرانوودیوریت در جنوب روسیای دودهک، شمال آبگرم محلات و در منطقه ارومیه دختر، بروزند دارد. بر اساس شواهد سنگ-شناختی و تجزیه نقطه‌ای (EPMA)، پلازیوکلازها دارای منطقه‌بندی عادی مشخصی هستند و نیز بافت نگاره‌ای در آنها مشاهده می‌شود. این در حالی است که نمونه‌های جنوب‌شرقی توده نفوذی متفاوت و دارای بافت میرمکیت بوده ولی بافت نگاره‌ای در آنها از بین رفته است و پلازیوکلازها نیز منطقه‌بندی خود را از دست داده‌اند. در نمونه‌های بخش جنوب‌شرقی، میرمکیت‌ها از نوع حاشیه‌ای هستند و پلازیوکلاز دارای ماکل صفحه شطربنجی است. نتایج تجزیه‌های XRF کل روند غیر خطی $Rb-SiO_2$ و K_2O-Na_2O را نشان می‌دهد و تجزیه EPMA کانی پلازیوکلاز ترکیب یکنواخت آلبیتی را نشان می‌دهد. چنین خصوصیات ژئوشیمیایی و بافتی بیانگر تأثیر دگرنهادی آلکالن در تشکیل میرمکیت و یکنواخت کردن پلازیوکلازها در بخش جنوب‌شرقی توده نفوذی دودهک است.

واژه‌های کلیدی: گرانیت، میرمکیت، منطقه‌بندی، دگرنهادی آلکالن، دودهک.

مقدمه

ویژگیهای رُثوشیمیایی کانیها در تشکیل بافتهای مختلف در سنگها بازتاب می‌یابد. در سال‌های اخیر بافتهای موجود در سنگ‌های آذرین، مانند پرتیت و میرمکیت به عنوان کلیدی برای تعیین ویژگیهای کانی‌ها و فرایندهای ماگمایی گرانیتوئیدها مورد توجه خاصی قرار گرفته است. برای مثال کولینز [۱ تا ۳] با بررسی میرمکیت‌های موجود در گرانیتوئیدهای دگرنهاده (metasomatic) و میرمکیت‌های موجود در کمپلکس کوما در جنوب شرقی استرالیا چگونگی فرایند گرانیتوئیدهای دگرنهاده را مطالعه کرده است.

رانگ [۴] میرمکیت‌هایی را که در طول جانشینی حاصل می‌شود، موره بررسی قرارداد و معتقد است میرمکیت‌هایی که در اثر جانشینی حاصل می‌شوند، می‌توانند نشان‌دهنده نوع ماگمای سازنده سنگ‌ها باشند.

در منطقه شمال غرب شهرستان محلات در نوار آتشفسانی ایران، رخمنوی گرانیتوئیدی به نام توده نفوذی دودهک وجود دارد که از نظر سنگ‌شناسی تقریباً همگن به نظر می‌رسد، ولی خصوصیات کانی‌شناسی و بافتی در بخش‌های جنوب‌شرقی آن با سایر بخش‌ها متفاوت است [۵]. در این مقاله ویژگیهای بافتهای میرمکیت، نگاره‌ای (graphic) گرافیک، و منطقه‌بندی پلاژیوکلازها در این توده نفوذی تعیین و ارتباط آنها با تشکیل بخش‌های متفاوت در توده نفوذی دودهک مورد بررسی قرار گرفته است. به منظور تعیین شیمی سنگ از روش XRF و برای تشخیص تغییرات شیمیایی کانی‌ها در بخش‌های مختلف بافتهای موره بررسی از روش EPMA استفاده شده است.

زمین‌شناسی عمومی

در مسیر اصلی قم به دلیجان و در جنوب روستای دودهک توده نفوذی گرانیتوئیدی رخمنوی دارد (شکل ۱). برونزد سطحی توده نفوذی دودهک بیش از ۳۰ کیلومتر مربع است و جایگیری آن بین توده‌های سنگی به شکل استوک است. سن این توده به دلیل آنکه سنگ‌های آتشفسانی انوسن را قطع کرده و آهک‌های الیکومیوسن بدون دگرگونی، روی آنها قرار گرفته‌اند، انوسن پایانی-اولیکوسن آغازی در نظر گرفته شده است [۶].

قدیمیترین برونزد در منطقه موره نظر، متعلق به آهک‌های پرمین است. در اکثر مناطق، سازند شمشک روی سنگ‌های پرمین قرار دارد و بیشتر شامل شیل‌های سیز با میان لایه‌هایی از ماسه سنگ است. در شمال روستای نینه رخمنوی محدود از سنگ آهک‌های تریاس با فسیل هتراستردیوم دیده می‌شوند. نفوذ توده موجب دگرگونی مجاورتی محدودی در توفهای اسیدی انوسن شده است که بیشتر با افزایش اندازه بلورهای توف همراه بوده است [۵].



شکل ۱ نقشه زمین‌شناسی منطقه مورد مطالعه (اقتباس از [۵]).

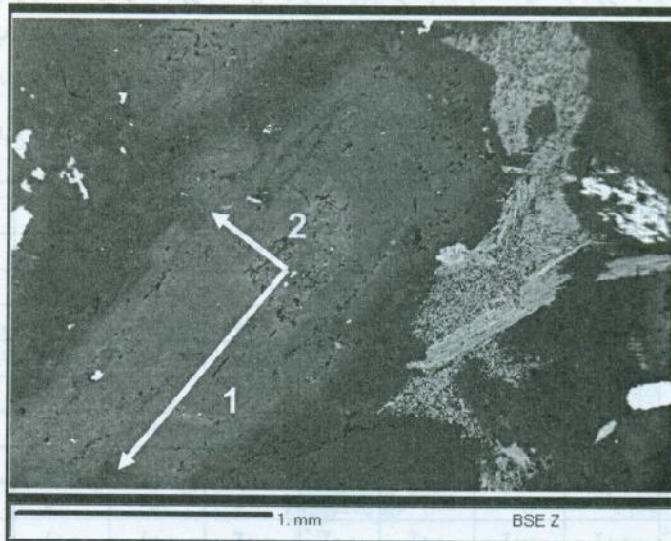
روش مطالعه

به منظور مطالعه ویژگی‌های میکروسکوپی و رُنگشیمیایی توده دودهک، مقاطع نازکی از نمونه‌های مربوط به بخش‌های مختلف توده تهیه و پس از مطالعه نمونه‌های انتخابی به روش‌های تجزیه شدن. تجزیه XRF ۸ نمونه کل سنگ به وسیله یک دستگاه فیلیپس Line PW2404 در آزمایشگاه تربیت معلم انجام شد. نمونه‌ها به روش پودر فشرده و در $K\alpha$ مورد آزمایش قرار گرفتند (جدول ۱). به منظور تجزیه نقطه‌ای (EPMA) کانی پلازیوکلاز، دو مقطع نازک- صیقلی تهیه و با یک دستگاه Cameca X100 در آزمایشگاه تحقیقات فرآوری مواد معدنی ایران و در شرایط ولتاژ شتاب ۱۰KV و جریان 10NA بررسی شدند. این مقاطع از دو گروه مختلف انتخاب شده بودند. در نمونه اول پلازیوکلازها منطقه‌ای و سنگ‌ها فاقد میرمکیت بودند. ۱۳ نقطه از پلازیوکلاز دارای منطقه‌بندی (نمونه D11) تجزیه شدند که ۷ نقطه از مرکز در راستای طولی کانی (شکل ۲ بردار ۱) و ۶ نقطه از مرکز در راستای عرض کانی (شکل ۲، بردار ۲) به سمت حاشیه بلور مورد بررسی قرار گرفتند. نتایج این بررسیها را در جدول ۲ می‌توان دید. نمونه دوم (نمونه D59) از جنوب‌شرقی توده انتخاب شد. این نمونه دارای بافت میرمکیت ولی پلازیوکلازها منطقه‌بندی خود را از دست داده بودند. از این نمونه ۶

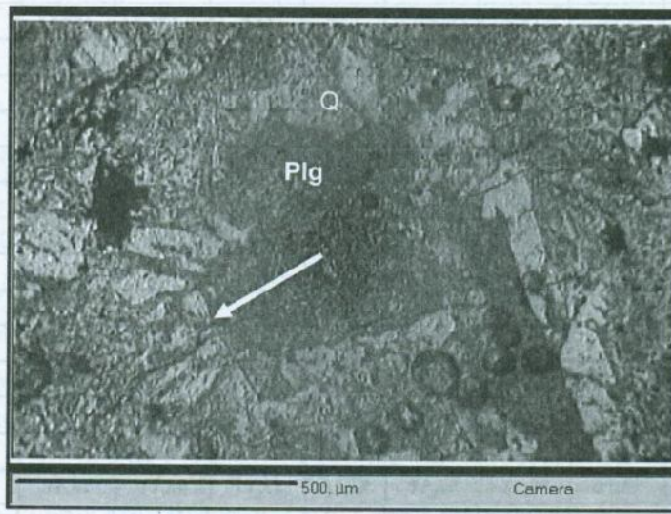
نقطه از مرکز به حاشیه یک بلور (شکل ۳) و ۴ نقطه از مرکز و حاشیه دو بلور دیگر تجزیه شد. نتایج تجزیه شیمیایی، همگنی و یکنواختی بلورهای پلازیوکلاز را در نمونه D59 نشان می‌دهد (جدول ۳).

جدول ۱ نتایج تجزیه گرانیتوئیدهای توده نفوذی دودهک به روش XRF. اکسیدها بر حسب درصد و عناصر بر حسب ppm هستند. آلبیت، آنورتیت و ارتوز نورماتیو نیز محاسبه شده‌اند.

XRF	۱۰D	۱۳D	۵۴D	۵۶D	۵۷D	۸۶D	۸۸D	۸۹D
SiO ₂	۷۱,۶۹	۷۶,۹۷	۷۰,۹۵	۷۲,۳۸	۷۲,۲۱	۷۳,۲۱	۷۲,۵۸	۷۳,۴۳
Al ₂ O ₃	۱۲,۳۴	۱۱,۵۶	۱۴,۲۵	۱۴,۱۲	۱۳,۸۸	۱۳,۵۶	۱۲,۳۰	۱۲,۷۹
Fe ₂ O ₃	۲,۷۴	۱,۷۵	۱,۶۲	۰,۶۰	۲,۳۵	۰,۷۲	۰,۷۴	۲,۹۴
MgO	۱,۰۵	۰,۳۶	۰,۳۲	۰,۲۵	۰,۸۷	۰,۷۲	۰,۲۳	۰,۲۳
CaO	۴,۲۰	۲,۴۱	۴,۰۵	۳,۴۳	۰,۸۵	۲,۶۵	۳,۲۲	۱,۵۴
Na ₂ O	۵۰,۵۳	۶,۱۸	۶,۵۱	۷,۶۱	۷,۹۷	۷,۶۶	۷,۳۴	۴,۵۱
K ₂ O	۰,۱۷	۰,۰۳	۰,۶۴	۰,۰۱	۰,۰۳	۰,۰۱	۰,۱۴	۲,۷۰
TiO ₂	۰,۴۴	۰,۲۱	۰,۴۲	۰,۴۰	۰,۴۵	۰,۰۱	۰,۴۵	۰,۳۰
MnO	۰,۰۲	۰,۰۲	۰,۰۴	۰,۰۲	۰,۰۳	۰,۰۱	۰,۰۱	۰,۰۳
P ₂ O ₅	۰,۰۶	۰,۰۳	۰,۰۶	۰,۷۰	۰,۰۶	۰,۰۶	۰,۰۶	۰,۰۳
Sr	۳۱۵	۲۴۷	۱۵۲	۱۵۸	۱۰۱	۲۶۱	۲۸۶	۱۸۷
Y	۱۲	۱۲	۱۳	۱۴	۱۳	۱۳	۱۳	۱۵
Cr	۱۲۸	۱۳۴	۱۰۷	۸۰	۱۰۰	۹۵	۱۱۷	۱۲۶
Zr	۲۲۳	۲۴۰	۲۳۶	۲۵۴	۲۳۴	۲۹	۲۷۷	۲۸۷
Nb	۲۲	۲۲	۲۲	۲۲	۲۱	۲۱	۲۳	۲۵
Ba	۶۰۳	۲۳۶	۶۱۷	۶۴۲	۶۴۰	۷۴۲	۶۷۳	۳۸۳
La	۱۵	۱۰	۱۶	۲۲	۲۶	۲۰	۱۱	۵
Ce	۲۵	۱	۶	۱۳	۱۸	۵	۹	۲۰۳
Nd	۱۸	۱۹	۱۵	۵۵	۵	۱	۱۰	۲۵
V	۴۰	۱۷	۳۷	۳۷	۳۷	۴۲	۳۹	۲۸
Pb	۲۱	۴۲	۴۱	۴۴	۱۳	۴۷	۲۱	۲۰
Cu	۱۰	۱۳	۱۱	۸	۹	۱۱	۹	۱۱
Zn	۹۰	۸۵	۶۲	۱۶	۵۲	۱۸	۲۷	۵۶
Cs	۴	۴	۱۶	۱	-	۳	۱	۱۰
Ga	۲۴	۲۶	۲۶	۳۵	۲۶	۲۸	۲۶	۲۵
Th	۸	۱۶	۹	۱۰	۹	۱۱	۱۱	۷
sum	۹۹,۲۵	۹۹,۵۲	۹۸,۹۴	۹۸,۹۵	۹۸,۷۰	۹۸,۷۲	۹۸,۱۳	۹۸,۵۱
Ab	۴۲,۳۳	۴۷,۵۵	۴۸,۷۹	۴۹,۰۸	۴۵,۱۶	۴۳,۲۹	۵۷,۰۳	۷۰,۲۶
An	۱۷,۷۵	۸,۰۴	۹,۱۷	۱,۶۱	۳,۰۶	۴,۱۰	۱,۷۳	۱۶,۲۰
Or	۱,۰۰	۱,۳۶	۱,۳۰	۱,۶۵	۱,۴۸	۱,۶۹	-۰,۸۹	۱۱,۸۸



شکل ۲ تصویر BSE مربوط به کانی پلازیوکلاز منطقه‌ای (نمونه D11) که از مرکز در دو راستای عمود بر هم تجزیه کمی (EPMA) روی آن انجام گرفته است.



شکل ۳ تصویر BSE مربوط به نمونه (D59). از مرکز به حاشیه پلازیوکلاز (در راستای نشان داده شده) به روش EPMA تجزیه کمی شده است. Plg پلازیوکلاز و Q کوارتز است.

جدول ۲ نتایج تجزیه کمی پلازموکلاز زونه (نمونه D11) از مرکز به حاشیه. (A) در راستای طول بلور و (B) در راستای عرض بلور.

A	مرکز	→				حاشیه
	بیتونیت	لابرادوریت	←	آندرزین	→	
Na ₂ O	۲,۲۵	۴,۳۸	۷,۵۱	۷,۴۹	۵,۷۱	۷,۵۱
K ₂ O	۰,۱۷	۰,۱۵	۰,۶۲	۰,۵۴	۰,۱۸	۰,۵۳
CaO	۱۵,۷۹	۱۳,۵۵	۶,۶۸	۷,۲۶	۱۰,۰۳	۷,۴۹
FeO	۰,۲۱	۰,۳۳	۰,۲۲	۰,۱۶	۰,۲۸	۰,۱۸
Al ₂ O ₃	۲۰,۶۹	۲۹,۷۰	۲۲,۵۱	۲۲,۷۶	۲۷,۶۱	۲۵,۳۵
SiO ₂	۴۸,۱-	۵۲,۱۹	۵۹,۴۵	۵۸,۹۲	۵۵,۰	۹۵,۵۶
Total	۹۷,۹۴	۱۰۰,۰	۹۹,۰۹	۹۹,۲۵	۹۹,۳۳	۱۰۰,۰۰
Na	۱,۱۸	۱,۵۳	۲,۸۵	۲,۸۲	۲,۰۱	۲,۸۲
K	-۰,۰۴	-۰,۰۳	-۰,۱۴	-۰,۱۲	-۰,۰۴	-۰,۱۲
Ca	۲,۹۶	۲,۶۴	۱,۲۹	۱,۴۲	۲,۰۵	۱,۴۳
Fe ₂	۰,۰۳	۰,۰۵	۰,۰۳	۰,۰۲	۰,۰۴	۰,۰۳
Al	۶,۷۶	۶,۳۱	۵,۲۱	۵,۲۷	۶,۹۰	۵,۳۱
Si	۹,۱۲	۹,۴۱	۱۰,۷۲	۱۰,۶۳	۱۰,۰۰	۱۰,۶۰
Ab	۲۸,۲	۳۴,۶	۶۴,۹	۶۲,۹	۴۹,۰	۶۲,۸
An	۷۰,۹	۶۴,۶	۳۱,۶	۳۴,۱	۴۹,۹	۳۴,۳
Or	۱,۰	۰,۸	۲,۵	۲,۰	۱,۰	۲,۹
B	مرکز	→				حاشیه
	بیتونیت	لابرادوریت	←	آندرزین	→	
Na ₂ O	۲,۱۷	۵,۴۲	۸,۰۵	۷,۸۹	۷,۲۱	۷,۹۶
K ₂ O	-۰,۰۸	-۰,۳۱	-۰,۲۸	-۰,۴۹	-۰,۲۹	-۰,۱۷
CaO	۱۵,۲۴	۱۱,۰۰	۱۰,۳۵	۷,۴۱	۸,۳۴	۷,۲۸
FeO	۰,۳۲	۰,۳۰	۰,۳۵	۰,۳۶	۰,۲۶	۰,۱۶
Al ₂ O ₃	۳۱,۵۸	۲۸,۰۱	۲۷,۲۱	۲۴,۶۸	۲۵,۰۳	۲۴,۹۲
SiO ₂	۴۸,۸۷	۵۴,۲۴	۵۴,۶۲	۵۸,۹۳	۵۷,۶۱	۵۹,۵۱
Total	۹۹,۲۷	۹۹,۴۰	۹۸,۸۹	۹۹,۵۲	۹۹,۲۸	۱۰۰,۰۰
Na	۱,۱۳	۱,۹۱	۲,۱۵	۲,۶۹	۲,۵۳	۲,۷۶
K	-۰,۰۲	-۰,۰۷	-۰,۰۶	-۰,۱۱	-۰,۰۷	-۰,۰۴
Ca	۲,۰۱	۲,۱۵	۲,۳۰	۱,۴۳	۱,۸۲	۱,۳۹
Fe ₂	۰,۰۵	۰,۰۵	۰,۰۵	-۰,۰۵	-۰,۰۴	-۰,۰۲
Al	۶,۸۷	۶,۰۱	۵,۸۷	۵,۲۴	۵,۴۵	۵,۲۵
Si	۹,۰۲	۹,۹۰	۱۰,۰۰	۱۰,۶۳	۱۰,۴۳	۱۰,۶۴
Ab	۲۷,۲	۴۶,۳	۵۰,۶	۶۲,۵	۶۰,۰	۶۵,۱
An	۷۲,۲	۵۱,۹	۴۷,۸	۳۲,۸	۳۸,۴	۳۲,۲
Or	-۰,۵	۱,۷	۱,۵	۲,۷	۱,۶	-۰,۹

جدول ۳ نتایج آنالیز کمی حاشیه و مرکز پلازیوکلازهای نامنطبقه‌ای نمونه جنوب شرقی توده نفوذی (نمونه D۵۹).

	مرکز	→						حاشیه	مرکز	حاشیه	مرکز	حاشیه
Na ₂ O	۱۱,۳۴	۱۱,۰۹	۱۱,۴۴	۱۱,۷۵	۱۱,۰۷	۱۱,۳۲	۱۱,۹۹	۱۱,۴۵	۱۱,۵۶	۱۰,۸۷		
K ₂ O	۰,۵۲	۰,۴۷	۰,۱۰	۰,۱۸	۰,۴۰	۰,۴۵	۰,۲۵	۰,۱۹	۰,۱۱	۰,۵۱		
CaO	۰,۴۱	۰,۴۱	۰,۴۹	۰,۳۱	۰,۷۱	۰,۰۷	۰,۵۵	۰,۵۶	۰,۷۳	۰,۸۷		
FeO	۰,۱۸	۰,۰۰	۰,۱۳	۰,۰۰	۰,۰۲	۰,۱۶	۰,۱۲	۰,۱۱	۰,۰۷	۰,۰۹		
Al ₂ O ₃	۱۹,۷۵	۱۹,۶۸	۱۹,۲۶	۱۹,۱۱	۱۹,۴۰	۱۹,۶۹	۱۹,۰۶	۱۹,۷۱	۱۹,۲۴	۱۹,۸۴		
SiO ₂	۶۸,۴۲	۶۷,۳۹	۶۸,۱۸	۶۸,۵۷	۶۶,۵۹	۶۸,۰۹	۶۸,۰۵	۶۷,۵۶	۶۸,۰۲	۶۶,۵۲		
Total	۱۰۰,۰	۱۰۰,۰	۹۹,۶۲	۹۹,۹۶	۹۸,۲۰	۱۰۰,۳	۱۰۰,۰	۹۹,۵۹	۹۹,۷۷	۹۸,۷۸		
Na	۲,۸	۲,۸	۲,۹	۲,۹	۲,۷	۲,۸	۲,۹	۲,۶	۲,۰	۲,۸		
K	۰,۱	۰,۱	۰,۰	۰,۰	۰,۱	۰,۱	۰,۰	۰,۰	۰,۰	۰,۰		
Ca	۰,۱	۰,۱	۰,۱	۰,۱	۰,۱	۰,۱	۰,۱	۰,۰	۰,۱	۰,۱		
Al	۴,۰	۴,۱	۳,۹	۳,۹	۴,۰	۴,۰	۳,۹	۲,۶	۳,۹	۴,۰		
Si	۱۱,۹	۱۱,۸	۱۲,۰	۱۱,۹	۱۱,۹	۱۱,۹	۱۱,۹	۱۳,۳	۱۱,۹	۱۱,۸		
Ab	۹۴,۹	۹۵,۱	۹۷,۶	۹۷,۲	۹۵,۱	۹۵,۲	۹۶,۰	۹۶,۳	۹۶,۲	۹۵,۳		
An	۲,۶	۲,۰	۱,۴	۲,۳	۱,۹	۱,۹	۲,۳	۲,۶	۲,۴	۳,۶		
Or	۲,۵	۲,۹	۱,۰	۰,۵	۲,۹	۲,۹	۰,۶	۱,۲	۱,۳	۱,۱		

بحث و بررسی

مطالعه بخش‌های مختلف توده نفوذی دودهک نشان می‌دهد که در مقیاس ماکروسکوپی توده نفوذی دودهک دارای ترکیب تقریباً یکنواختی است، ولی بخش جنوب‌شرقی آن در مقیاس میکروسکوپی با بخش‌های دیگر تفاوت دارد [۵]. از اینرو در زیر ویژگیهای کلی توده نفوذی و بخش جنوب‌شرقی جدا از هم بررسی و در مورد عوامل سازنده تفاوت‌های موجود بحث شد.

توده نفوذی دودهک

بررسی‌های صحرائی نشان می‌دهد که توده نفوذی دودهک یک توده تقریباً همگن است و تغییرات در میزان و نوع کانیها در سنگها بسیار تدریجی است. بر اساس مطالعات میکروسکوپی و اندازه‌گیری مдал کانی‌های کوارتز، فلدسپات پتاسیک، و پلازیوکلаз (جدول ۴) سنگ‌ها در تقسیم‌بندی اشتربکایزن [۶] تونالیت تا گرانوپیوریت هستند. سنگ‌ها با توجه به تجزیه شیمی آنها (جدول ۱) و بر اساس تقسیم‌بندی مдал، کانی‌های آلبیت، آنورتیت، و ارتوز [۸ و ۹] نیز بیشتر تونالیت‌اند.

گرانیتهای مورد مطالعه از نظر نسبت Zr در مقابل SiO_2 از نوع I هستند.^[۱۰] و ^[۱۱] نمونه‌های مورد مطالعه در نمودار ایروین و بارگار^[۱۲] و نمودار AFM به ترتیب در گستره زیر مجموعه الکالن و کالکوآلکالن قراردارند (شکل ۴).

کانی‌شناسی اصلی توده نفوذی شامل پلازیوکلاز، کوارتز و آلکالی فلدسپار نیز کانی‌های تبره بیوتیت و آمفیبول است، و اسفن نیز در برخی سنگها دیده می‌شود.

پلازیوکلازها، به صورت شکل‌دار تا نیمه‌شکل‌دار بوده و اندازه آنها بین ۱/۰ تا ۵/۵ میلی‌متر تغییر می‌کند و اغلب سالم و ساختاری منطقه‌ای و ماکل واضح دارند (شکل ۵) و آثار تجزیه در آنها چندان دیده نمی‌شود. ولی در فلدسپات قلیایی آثار تجزیه به کانیهای رسی در برخی موارد آشکار است.

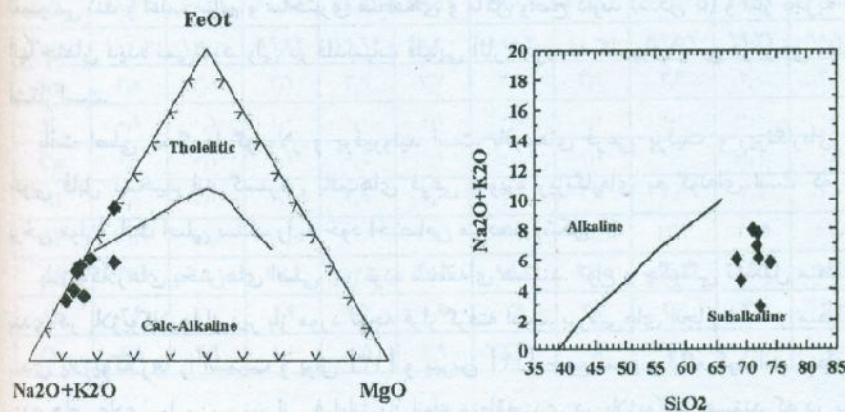
بافت اصلی سنگها گرانولار و برفیروئید است. بافت‌های فرعی پرتیت و ریزنگارهای به خوبی قابل تشخیص‌اند گسترش بافت‌های فرعی بهویژه ریزنگارهای به گونه‌ای است که در برخی موارد بافت اصلی سنگ را به خود اختصاص می‌دهد (شکل ۶).

پلازیوکلازهای بخش‌های اصلی این توده منطقه‌ای هستند. انواع و چگونگی تشکیل منطقه‌بندي در پلازیوکلازها از دیر باز مورد توجه قرار گرفته است. بررسی‌های انجام شده بر منطقه‌بندي پلازیوکلازها را اسميت و بران^[۱۳] و پیرس^[۱۴] جمع‌بندي و ارائه کرده‌اند. منطقه‌بندي‌های عادي، وارون، و نوسانی فراوان‌ترین انواع منطقه‌بندي در پلازیوکلاز هستند که در يك تک بلور دیده می‌شوند^[۱۳]. مکنزی و همکاران^[۱۵] انواع تلفیقی منطقه‌بندي را معرفی کرده‌اند. آنها معتقدند که در بلورهای پلازیوکلاز در طول منطقه‌بندي عادي یا وارون می‌توان نوسان‌های شدیدی را مشاهده کرد که به ترتیب انواع منطقه‌بندي عادي، نوسانی و نوسانی وارون را به نمایش گزارده‌اند.

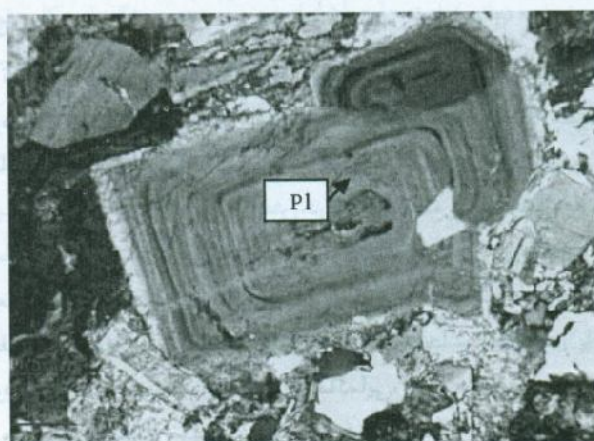
بر اساس تجزیه نقطه‌ای (EPMA)، منطقه‌بندي عادي در پلازیوکلازهای منطقه‌ای بخش‌های اصلی توده دیده می‌شود که شامل افزایش سدیم از مرکز به حاشیه بلور و کاهش کلسیم از مرکز به حاشیه بلور است (شکل ۷). ترکیب پلازیوکلازها از بیتونیت در مرکز به آندزین در حاشیه تغییر می‌کند (جدول ۲). ولی کاهش درصد آنورتیت از مرکز به حاشیه روندی خطی ندارد و با نوسان همراه است. از این‌رو شاید بتوان نوع منطقه‌بندي پلازیوکلازهای مطالعه شده را بر اساس تقسیم‌بندي مکنزی و همکاران^[۱۵]، نوسانی عادي ناميد. برای تعیین دقیق الگوی نوسانی این بلورها نیاز به آنالیز نقاط بیشتری از مرکز به حاشیه بلورهای پلازیوکلاز است. با توجه به نبود بافت‌های مربوط به اختلاط ماقمایی، این منطقه‌بندي نوسانی عادي در پلازیوکلازها می‌تواند خاستگاه ماقمایی داشته و به سرد شدن سریع ماقما نسبت به تفكیک عناصر مربوط باشد^[۱۶].

جدول ۴ نتایج آنالیز مдал کانی‌های کوارتز (Q)، فلدسپات پاتاسیک (Kf) و پلازیوکلاز (Plg) بر حسب درصد در گرانیتوئیدهای مورد مطالعه. مجموع درصد حجمی سه کانی به صد رسانده شده است

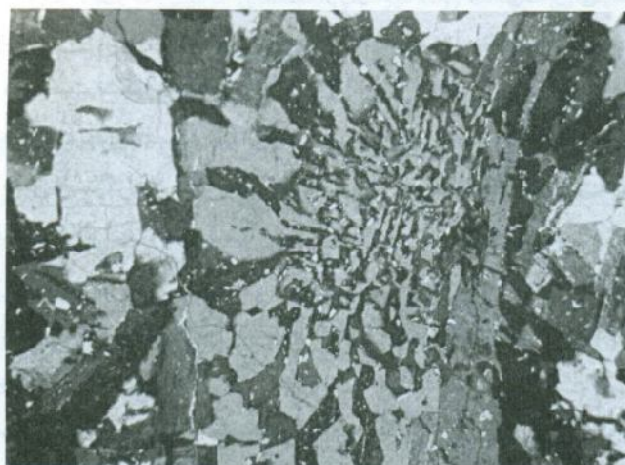
	۸۹D	۸۸D	۸۶D	۵۷D	۵۶D	۵۴D	۱۳D	۱D
Q	۳۹,۴۳	۳۹,۷۳	۳۲,۳۷	۳۴,۹۱	۲۳,۸۴	۲۶,۳۹	۲۸,۱۳	۵۹,۲۸
Kf	۱,۱۸	۱,۴۳	۱,۵۳	۱,۸۰	۱,۶۱	۱,۷۹	۰,۲۵	۱۲,۶۹
Plg	۵۹,۳۸	۵۸,۸۲	۶۶,۰۸	۶۳,۲۷	۷۴,۵۴	۷۳,۸۰	۷۰,۸۷	۲۷,۰۶



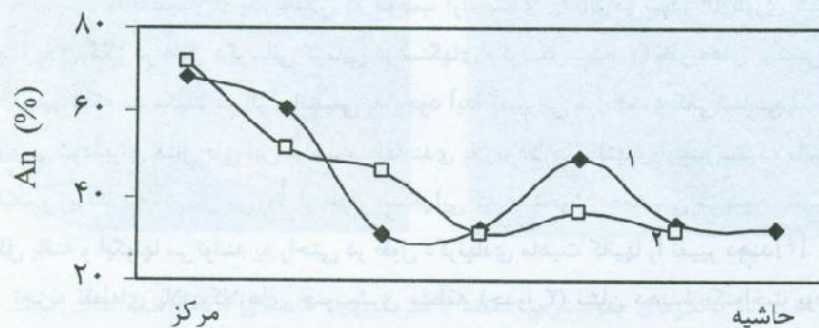
شکل ۴ گرانیتوئیدهای مورد مطالعه در نمودار ایروین و بارگار [۱۱] (الف) و نمودار (ب) بر حسب ترتیب در گستره ساب الکالن و کالکوآلکالن قرار دارند.



شکل ۵ تصویر میکروسکوپی پلازیوکلازهای سالم با منطقه‌بندی مشخص در نمونه D11 (XPL).



شکل ۶ تصویر میکروسکوپی بافت میکروگرافیک در بخش‌های اصلی توده نفوذی دودهک، (XPL).



شکل ۷ نمودار تغییرات درصد آنورتیت در پلازیوکلاز منطقه‌ای ۱ و ۲ به ترتیب آنالیز انجام شده در راستای بردارهای نشان داده شده در شکل ۲ هستند. فاصله بین مرکز تا حاشیه بدون مقیاس است.

دگرنهادی در گرانیتوئیدهای جنوب شرقی توده نفوذی نمونه‌های بخش جنوب شرقی توده با سایر نقاط متفاوتند. در نمونه‌هایی که از این بخش برداشت شده‌اند، پلازیوکلازها منطقه‌بندی روشنی ندارند و نیز بافت نگارهای که هم‌رشدی کوارتز و آلکالی فلدسپار است، مشاهده نمی‌شود. تفاوت‌هایی نیز در شکل و اندازه کانیهای وجود دارد. اندازه بلورهای کوارتز بین ۰/۱ تا ۲ میلیمتر است. کوارتز بیشتر بی‌شکل بوده و پرکننده

فضای بین کانیهای دیگر سنگ است. دانه‌های کوارتز اغلب خاموشی موجی نشان داده و در مواردی کاتاکلاست شده‌اند. سریسیتی شدن نیز در پلازیوکلازها مشاهده می‌شود که در حاشیه پلازیوکلازها میرمکیت تشکیل شده است.

با توجه به تقسیم‌بندی فیلیپس [۱۶ و ۱۷] که میرمکیتها را به انواع میرمکیت حاشیه‌ای، منفرد، زائد شکل، اینترگرانولار بین دو K فلدسپار، و میرمکیتها دو لخته با دنباله‌های مسکوویت تقسیم کرده است، میرمکیتها مورد مطالعه بیشتر از نوع حاشیه‌ای هستند (شکل ۸ الف).

رانگ [۴] نظریه‌های مختلفی در ارتباط با تشکیل میرمکیتها عنوان کرده است که به ترتیب عبارتند از:

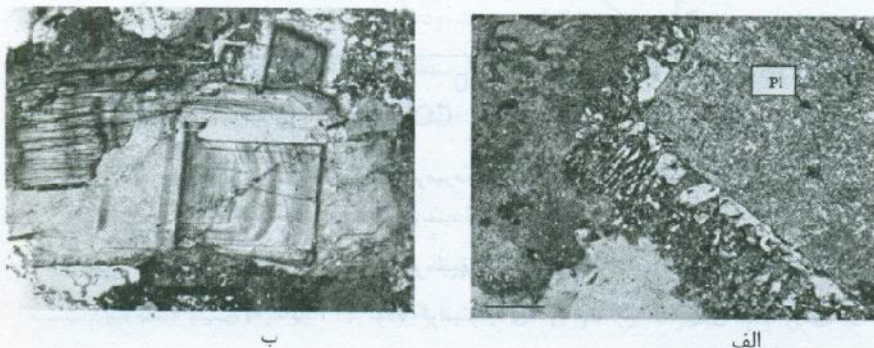
۱) رشد همزمان با بلوری شدن مستقیم از یک آبگون. ۲) رشد دوباره کوارتز به صورت میرمکیت. ۳) جانشینی پلازیوکلاز به وسیله K فلدسپار (برخی دیگر معتقدند کوارتز ورمیکوله می‌تواند در K فلدسپار جای گیرد [۱۸]). ۴) اکسولوشن (جدایش) در طول سرد شدن. ۵) جانشینی K فلدسپار با پلازیوکلاز که موجب آزاد سازی SiO_2 می‌شود. ۶) بلوری شدن دوباره پلازیوکلاز در طول دگرسانی گرمابی در سنگهای دگرشکل شده. ۷) نظریه‌های ترکیبی. در صورتیکه میرمکیت در اثر جانشینی به وجود آید، تغییراتی در بافت و کانی‌شناسی سنگ دیده می‌شود. برای مثال طی این فرایند منطقه‌بندی پلازیوکلازها، بافت‌های اولیه سنگ مانند پرتیت و ریزنگارهای از بین می‌رود. از طرفی سنگهایی که دستخوش جانشینی می‌شوند، تغییر شکل یافته و آبگونها می‌توانند به راحتی در طول دگرنهادی ماهیت کانیها را تغییر دهند [۴].

تجزیه نقطه‌ای پلازیوکلازهای جنوب شرق منطقه (جدول ۳) نشان دهنده یکنواخت بودن ترکیب و آلبیتی شدن پلازیوکلازهای است. در حاشیه این بلورهای همگن، میرمکیت تشکیل شده است و منطقه‌بندی پلازیوکلاز از بین رفته است که می‌تواند دلیلی بر تشکیل میرمکیت در طول فرایند دگرنهادی قلیابی باشد [۱۹].

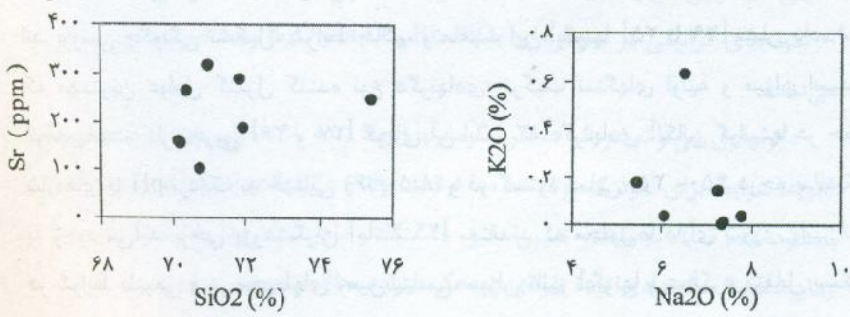
- از طرف دیگر در نمونه‌های بخش جنوب شرقی، فلدسپات‌های پتاسیک هسته روی پلازیوکلازها هسته‌سازی داشته است (شکل ۸ ب) که این بافت به دگرنهادی سدیک نسبت داده شده است [۱۹].

در بررسی ژئوشیمیایی نمونه‌ها، روند غیرخطی نمونه‌های گرانیتی در نمودارهای $Rb-SiO_2$ و K_2O-Na_2O دیده می‌شود (شکل ۹) که این پدیده نیز ناشی از دگرنهادی سدیک است. در شرایط معمولی نمونه‌ها روند خطی با شبیث مثبت نشان می‌دهند [۱۰].

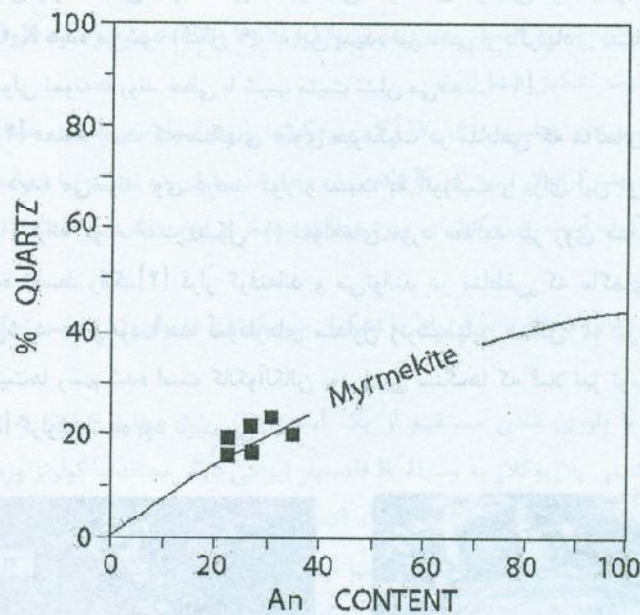
رانگ [۴] معتقد است که سنگهای حاوی میرمکیت در مناطقی که ماغماهای کالکو‌آلکان فعال است دیده می‌شوند. وی در صد کوارتز نسبت به آنورتیت را برای این نوع میرمکیت‌ها اندازه‌گیری و ارائه کرده است (شکل ۱۰) نمونه‌های مورد مطالعه نیز روی منحنی میرمکیت معرفی شده توسط رانگ [۴] قرار گرفته‌اند و می‌توانند در مناطقی که ماغماهای کالکو‌آلکان تشکیل می‌شود، به وجود آیند. نمودارهای متداول ژئوشیمیایی (شکل ۴) نیز که بر اساس تجزیه گرانیت‌ها رسم شده است کالکو‌آلکان بودن این سنگ‌ها که قبل نیز توسط قلماقش و باباخانی [۶] گزارش شده بود تایید می‌کند.



شکل ۸ (الف): پلازیوکلازهای جنوب‌شرقی منطقه با میرمکیتهای حاشیه‌ای (PPL) ب؛ نمایش رشد فلدسپات پتاسیک روی پلازیوکلاز در رخمنون جنوب‌شرقی توده نفوذی دودهک (PPL).



شکل ۹ روند غیر خطی نمونه‌های گرانیتی در نمودارهای $Rb-SiO_2$ و K_2O-Na_2O .



شکل ۱۰ درصد آنورتیت نسبت به کوارتز در میرمکیتهای مطالعه شده بر اساس نمودار رانگ [۴].

تشکیل دگرنهادی آلکالن به عملکرد گرمابیهای و آبگونهای حاصل از واکنش‌های دگرگونی نسبت داده شده است [۲۰ تا ۲۴]. توده گرانیتوئیدی دودهک در سنگهای آتشفشنای الوسن نفوذ کرده و آهک‌های الیگو سن در برخی نقاط روی آن قرار گرفته است. تشکیل آن همزمان با فعالیت دگرگونی درجه بالا نبوده، و پس از تشکیل نیز فعالیت‌های دگرگونی مشخصی در منطقه دیده نمی‌شود. لذا به نظر می‌رسد که گرمابیها در تشکیل دگرنهادی الکالن نقش داشته‌اند. بررسی چگونگی تشکیل، شرایط حاکم، و ماهیت این آبگونها [۲۵ تا ۲۹] نشان داده است که مهمترین عوامل کنترل کننده نوع دگرنهادی، ترکیب سنگهای اولیه و میزان اسیدیتۀ گرمابیهای است. کار تجربی [۲۶ و ۲۷] گویای آن است که دگرنهادی آلکالن گرانیتها در حضور شاره‌های با pH نزدیک به خنثایی (۸/۵-۶/۶) و در گستره دمایی ۳۵۰-۴۵۰ درجه سانتیگراد به وجود می‌آید. برخی پژوهشگران [مانند ۲۹] معتقدند که محلول‌ها دارای شوری پایین‌اند و در شرایط طبیعی و در محیط‌های زمین‌شناسی، میزان تاثیر آبگونها و عملکرد متقابل سنگ و آبگون می‌تواند در تغییر دما و pH یاد شده موثر باشد. لذا برای تعیین دقیق خاستگاه و ماهیت

آبگونهای و شرایط حاکم بر آنها در زمان تشکیل دگرنهادی توده نفوذی دودهک نیاز به مطالعات بیشتری بررسی آبگونهای درگیر، دادهای REE، و تعیین میزان و نسبت‌های ایزوتوپی است.

دگرنهادی در توده نفوذی دودهک محدود به حاشیه جنوب‌شرقی است. میزان گسترش دگرنهادی علاوه بر حجم شاره‌ها به تغییرات ساختاری گرانیتها نیز وابسته است [۱۸]. بررسی ساختاری سنگهای نفوذی منطقه نشان داده است که این سنگها قادر بافت‌های ثانویه هستند، و توده تحت تاثیر نیروهایی که بتواند ساختار توده را تغییر و شرایط را برای نفوذ بیشتر شاره‌ها فراهم آورد، قرار نداشته است. لذا دگرنهادی در این توده محدود به حاشیه جنوب‌شرقی شده است.

برداشت

توده نفوذی دودهک توانایی تا گرانودبوریت بوده و بافت‌های پورفیروئید، ریز نگارهای و نگارهای در سنگهای آن دیده می‌شود. پلازیوکلازها، منطقه‌بندی عادی (نوسانی) را نشان می‌دهند. بافت‌های موجود در سنگهای جنوب‌شرقی منطقه متفاوت و وجود شواهد زیر دلیلی بر حضور دگرنهادی آلکالن در این محدوده است:

- در حاشیه پلازیوکلازهایی که بافت منطقه‌بندی خود را از دست داده‌اند، میرمکیت حاشیه‌ای به وجود آمده است. این نوع میرمکیت می‌تواند در فرایند دگرنهادی و در سنگ‌هایی که از یک مagma اولیه کالکوآلکالن، بلوری شده‌اند، به وجود آیند. نمودارهای ژئوشیمیایی ترسیم شده براساس تجزیه XRF نمونه‌ها، نیز حضور چنین magma‌ای را تایید می‌کند.

- آلکالی فلدسپار به صورت مریع و لوزی شکل با بافتی شبیه به شطرنج روی پلازیوکلازها البتی نطفه‌زایی کرده است.

- نمونه‌های گرانیتی در نمودارهای $Rb-SiO_2$ و K_2O-Na_2O روند غیر خطی از خود نشان می‌دهند.

دگرنهادی می‌تواند در اثر عملکرد گرمابیها ایجاد شده باشد ولی در اثر نبود ساختارهای ثانویه، شرایط برای نفوذ گسترده شاره‌ها فراهم نبود، و دگرنهادی به حاشیه جنوب‌شرقی توده محدود شده است. به منظور تعیین دقیق خاستگاه و ماهیت شاره‌ها و شرایط حاکم بر آنها در زمان تشکیل دگرنهادی توده نفوذی دودهک نیاز به مطالعات بیشتری است.

تشکر و قدردانی

این کار پژوهشی با حمایت مالی معاونت پژوهشی و در اجرای طرح‌های پژوهشی پژوهشکده تحقیقاتی علوم کاربردی دانشگاه تربیت معلم انجام شده است.

مراجع

- [1] Collins L. G., "Hydrothermal Differentiation And Myrmekite - A Clue To Many Geologic Puzzles: Athens", Theophrastus Publications, 382 p. (1988)
- [2] Collins L. G., "The metasomatic origin of the Cooma complex in southeastern Australia", Theophrastus Contributions, 1, 105-112. (1993)
- [3] Collins L. G., "Metasomatic Origin of the Cooma complex in southeastern Australia Theophrastus Publication", 387 p. (1998)
- [4] Rong J. S., "Myrmekite formed by Na- and Ca- Metasomatism of K-feldespar", Beijing Research Institute of Uranium Geology (2002).
- [۵] صالحی ز.. "پتروگرافی و پترولوژی سنگهای آذرین و دگرگونی جنوب دودهک" ، پایان نامه کارشناسی ارشد. دانشگاه تربیت معلم تهران. (۱۳۸۵).
- [۶] قلمقاش ج، بابا خانی ع، نقشه زمین شناسی کهک، مقیاس ۱/۱۰۰۰۰۰، انتشارات سازمان زمین شناسی و اکتشافات معدنی کشور. (۱۳۷۴).
- [7] Streekeisen A. L., "Classification and nomenclature of plutonic rocks", Geo. Rundsch., 63, 773-786. (1974).
- [8] Barker F., "Trondhjemites, dacites and related rocks", Elsevier Sci. Pul. Amsterdam, the Netherlands (ed) (1979).
- [9] O'Connor J. T., "A classification for quartz-rich igneous rocks based on feldspar reactions", US. Geol. Sur. Prof. paper: 525, B, 49-84. (1965)
- [10] Chappell B. W., White A. J. R., "Two contrasting granite type", Pacific. Geology, 8, 173-174. (1974)
- [11] Wilson M., "Igneous Petrogenesis: a global tectonic approach", Unwinhy Man; London, 466PP. (1989)
- [12] Irvine T. N., Baragar R. A., "A guide to the chemical classification of the common Volcanic rocks", Can. J. Earth Sci, 8, 523-548. (1971)
- [13] Smith J. V., Brown W. L., "Feldspar Minerals I. Crystal Structures", Physical, Chemical and Microtextural Properties. Berlin (Springer). (1988)
- [14] Pearce T. H., "Recent work of oscillatory zoning in plagioclase", In 'Feldspars and Their Reactions'. Parsons, I (ed.), Dordrecht (Kluwer), p. 313-349. (1994)

- [15] McKenzie W. S., Donaldson C. H. D., Guilford C., "Atlas of igneous rocks and their textures", Longman. 148p. (1984).
- [16] Phillips E. R., "Myrmekite - One hundred years later: Lithos", 7, 181-194. (1974)
- [17] Phillips E. R., "On polygenetic myrmekite: Geological Magazine", 117, 29-36. (1989)
- [18] Simpson C., Wintsch R. P., "Evidence for deformation-induced K-feldspar replacement by myrmekite", J. of Metamorphic Geology, 7, p. 261-275. (1989)
- [19] Smith J. V., "Feldspar minerals", V.2 ,Berlin-Heidelberg, Springer Verlag, 690 PP. (1974)
- [20] Drummond M. S., Ragland P. C., Wesolowski D., "An example of trondjemite genesis by means of alkal metasomatism: Rockford granite", Alabama, Contribution to Mineralogy and Petrology, 93, 98-113. (1986)
- [21] Zaraisky G. P., "Metasomatic rocks: Zoning and formation conditions (in Russian)", Nauka: Moscow, 342 pp. (1989)
- [22] Maruejol P., Cuney M., Turpin L., "Magmatic and hydrothermal REE fractionation in the Xihuashan granite (SE China)", Contribution to Mineralogy and Petrology, 104, 668-680. (1990)
- [23] Marks M., Vennemann T., Siebel W., Markl G., "Quantification of magmatic and hydrothermal processes in peralkaline syenite-alkali granite complex based on texture", phase equilibria, and stable and radiogenic isotopes, Journal of Petrology, 44, 1247-1280. (2003)
- [24] Fiannacca P., Brotzu P., Cirrincione R., Mazzoleni P., Pezzino A., "Alkali metasomatism as a process for trondjemite genesis: evidence from Aspromonte Unite", north-eastern Peloriant, Sicily, Mineralogy and Petrology, 84, 19-45. (2005)
- [25] Zaraisky G. P., Shapovalov Yu. B., Belyaevskaya O. N., "Experimental studies of the acidic metasomatism (in Russian)", Nauka: Moscow, 218 pp. (1981)
- [26] Zaraisky G. P., "Progress in the theory of metasomatic zoning", Petrology, 1, 4-28. (1993a)
- [27] Zaraisky G. P., "Experimental modeling of metasomatism", Petrology, 1, 251-264. (1993b)
- [28] Zaraisky G. P., Stoyanovskaya F. M., "Experimental modeling of gain and loss of the rare metals (W, Mo and Sn) during of greisenization and alkalic metasomatism of leucocratic granite, Experiment in Geosciences", 4, 19-21. (1995)

- [29] Zharikov V. A., Omelyanenko B. I., "Classification of metasomatites (in Russian)", in: Metasomatism and ore deposition, Nauka: Moscow, pp. 9-28 (1978)
- [30] Cathelineau M., "The hydrothermal alkali metasomatism effects on granitic rocks: quartz dissolution and related subsolidus changes", J. of Petrology, 27, 945-965. (1986)